継手部の形状を模擬した鋼管矢板基礎の水平抵抗特性-その1 継手模型の各種力学試験

京都大学大学院工学研究科 学生会員 草場 翔馬 宮﨑 祐輔 京都大学大学院工学研究科 正会員 澤村 康生 木村 亮 阪神高速道路(株) 正会員 ○西原 知彦 篠原 聖二 (一財) 阪神高速道路技術センター 正会員 安藤 高士 服部 匡洋

1. はじめに

鋼管矢板基礎は、継手を有する鋼管矢板を閉鎖形状に 打設し、継手管内にモルタルを充填することで基礎全体 を結合する(図1). 鋼管矢板基礎の力学特性を把握する ためには、継手部が有する圧縮・引張・せん断方向の挙 動を適切に評価する必要があるが、既往の研究りにおい ては、鋼管模型のモデル化において主に鉛直方向のせん 断特性のみを考慮している. そこで本研究では、継手形 状を実構造に一致させた模型を用いて、事前に継手部の 力学特性を要素試験により確認した後,遠心加速度50G 場において鋼管矢板基礎に対する水平載荷試験を実施し た. 本稿では、継手模型の各種力学試験結果を報告する.

2. 鋼管模型のモデル化

水平方向の力に対する鋼管矢板基礎の変形モードは、 鉛直方向のずれと、図2に示すような継手形状固有の水 平方向のずれが考えられる. そこで本研究では、継手形 状を実構造に一致させることに主眼を置き、図3に示す ような鉄製 ($E=2.1\times10^8$ kN/m²) の鋼管模型を用いた. 表 1には、遠心加速度 50G 場における実構造物と鋼管模型 の諸元を示す、継手部遊間の充填材には、実構造物では 遊間内を密閉することのできるモルタルが用いられてい るが、今回は、①引張・圧縮・せん断抵抗を期待できる、 ②深さ方向に均一な材質で複数の継手間距離を等しく管 理できる、という点から、ステンレス製丸棒を用いた.

3. 継手部の各種要素試験の概要

模型継手部の引張・圧縮・せん断抵抗を把握すること を目的として、一軸圧縮試験機を用いて、圧縮・引張試 験、押し抜きせん断試験を実施した、図4に各種試験の 概略図を示す. 引張・圧縮試験では、1 辺 30 mm の鉄製 立方体に継手を溶接した模型を用いた. なお, 継手の断 面形状と充填材は、図3に示すものと同じである.押し 抜きせん断試験では、長100 mm の鋼管模型を3本嵌合 した試験体を用いて、中央の鋼管模型のみを押し抜いた. いずれの試験においても、変位制御により載荷速度は1.0 mm/min とした.

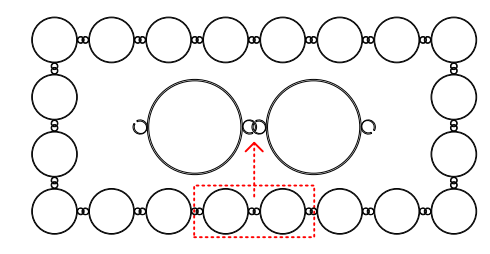


図1 P-P型鋼管矢板基礎断面図





(a) 水平方向せん断ずれ

(b) 鋼管のねじり変形

図2 P-P継手の変形モード

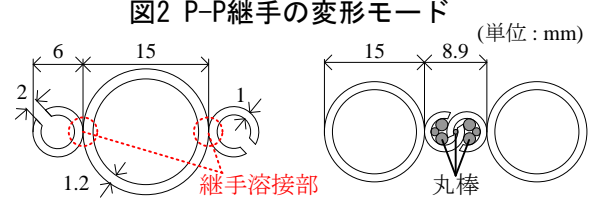


図3 鋼管模型断面図

表1 実構造物と鋼管模型の諸元

	杭長	本管部の 杭長 本管径 断面2次 継手径 モーメント					
	L [mm]	(D, t)[mm]	$I [cm^4]$	d [mm]	d/D		
P-P継手(1 G場)	30500	(1000, 12)	454544	165.2	0.165		
P-P継手(50 G場)	601	(20, 0.24)	0.073	3.304	0.165		
本実験模型	500	(15, 1.2)	0.125	6	0.4		

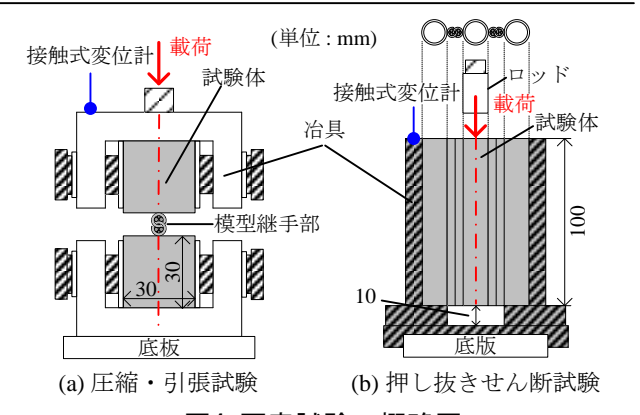


図4 要素試験の概略図

4. 試験結果

図5に、引張試験、圧縮試験および押し抜きせん断試 験の結果を示す.引張・圧縮抵抗力は引張・圧縮荷重を 模型奥行長さ30mmで除した値、せん断抵抗力はせん断 荷重をせん断面の長さ200mmで除した値である.また,

キーワード 鋼管矢板、継手部、圧縮試験、引張試験、押し抜き試験 〒615-8540 京都市西京区京都大学桂 京都大学大学院工学研究科 TEL 075-383-3193 連絡先

写真1に引張・圧縮試験後の継手模型を示す.

図5(a) および写真1(a) より, 本実験模型の引張抵 抗は、①中央丸棒が圧縮力に抵抗し、曲げ変形を許す継 手鋼鉄部が引張力に抵抗し、②継手鋼鉄部が塑性すると 剛性が低下すると考えられる. 図5(b) および写真1(b) より、圧縮抵抗は、①継手鋼鉄部が圧縮力に抵抗し、② 鋼鉄部が塑性し、一度剛性が低下するが、③圧縮変位に 伴い継手遊間が完全に閉じると丸棒と鋼鉄部が圧縮力に 抵抗し、再び剛性が増加すると考えられる. 図5(c)よ り、せん断抵抗は①継手鋼鉄部と丸棒との静止摩擦力に よりせん断抵抗力がピーク値まで上昇し、②鋼鉄部と丸 棒の接触面積の減少に伴い、せん断抵抗力が低下すると 考えられる. 稲積ら ²⁾が実施した実規模大 P-P 継手の要 素試験結果によると、引張抵抗力は主に継手鋼鉄部によ って発揮され、圧縮抵抗は充填モルタル内のせん断破壊 による影響が支配的であることが報告されている.また, せん断抵抗力は充填モルタルの付着力により発揮される としている.これらを本研究における結果と比較すると, 引張抵抗力の発現メカニズムは同様であるが、圧縮抵抗 力, せん断抵抗力については差異が確認できる.

表2には、各種力学抵抗特性について、本試験結果と 稲積ら²⁾が実施した実規模大 P-P 継手に対する継手部の 力学試験結果を示している. 表中の剛性および耐力は既 往の研究と同様の方法で求めた. 剛性は、図5の最大勾 配とし、耐力は図5の第一次剛性変化点とした.表2よ り、継手間隙にモルタルを充填した実物大継手と比較し て, 本実験で用いた継手模型は, 引張剛性は大きく, 圧 縮・せん断剛性は小さいことがわかる.

5. 結論

本研究では、継手形状を実構造に一致させた模型を用 いて、継手部の要素試験を実施した. 得られた知見は以 下の通りである.

- ① 継手部の要素試験により、圧縮・引張・せん断の3 方向について継手部の力学特性を把握した.
- ② 本研究における継手モデルは、継手遊間にモルタル を充填した実規模大継手と比較して, 引張剛性は大 きく, 圧縮・せん断剛性は小さい. また, 引張抵抗 力の発現メカニズムは同様であるが、圧縮抵抗力、 せん断抵抗力については差異がある.
- 本研究では、継手部遊間の充填材にステンレス製丸 棒を用いて継手部をモデル化したが、継手間の注入 材料に関しては今後さらなる検討が必要である.

<参考文献>

1) 木村ら: 連結鋼管矢板を用いた鋼管矢板基礎の水平抵抗特性, 第38回 地盤工学研究発表会, pp.1611-1612, 2003. 2) 稲積ら: 鋼管矢板基礎におけ る継手部力学特性の解明と3次元骨組構造解析手法の提案,土木学会論文 集 C Vol.65 No.2, 532-543, 2009.

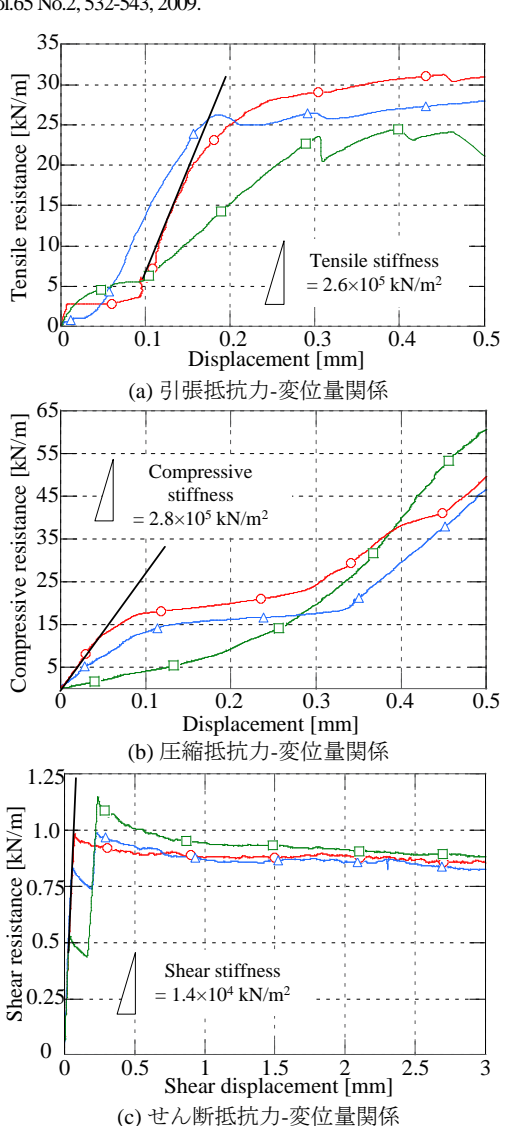


図5 要素試験結果





(a) 引張試験後

(b) 圧縮試験後

写真1 試験後の継手模型 表2 各種要素試験の結果

	引張特性		圧縮特性		せん断特性	
	剛性 [kN/m²]	耐力 [kN/m]	剛性 [kN/m²]	耐力 [kN/m]	剛性 [kN/m²]	耐力 [kN/m]
A:本研究模型	2.6×10 ⁵	25.6	2.8×10 ⁵	17.2	1.4×10 ⁴	0.99
B:実物大P-P継手2)	1.2×10 ⁴	144	8.6×10 ⁵	1230	4.8×10 ⁵	81
剛性比(A/B)	21.7	_	0.3	_	0.03	_